



کاربردهای سنگ‌زایی شیمی کانی دیوپسیدیت‌های گوشه در بخش شرقی افیولیت سبزوار (شمال شرقی ایران مرکزی)

فاطمه رحمانی، موسی نقره‌ئیان^{*}، محمدعلی مکی‌زاده

گروه زمین‌شناسی، دانشکده علوم، دانشگاه اصفهان

(دریافت مقاله: ۹۶/۴/۱۴، نسخه نهایی: ۹۶/۹/۱۴)

چکیده: در بخش شرقی افیولیت سبزوار در جنوب هزارزبوریت‌های سرپانتینی شده گوشه وجود دارد. مرکز رگه‌ها اغلب همگن‌تر است، بافت گرانوبلاستیک دارد و بیشتر شامل کلینوپیروکسن است. مرز بین کلینوپیروکسن خالص و پریدوتیت میزان معمولاً تدریجی است و بوسیله بافت‌ها و کانی‌های جایگزین مشخص می‌شود. هزارزبوریت میزان نیز تاحدی دستخوش فرایند دیوپسیدی شدن شده است و لکه‌هایی از درشت بلورهای پلازیوکلاز دگرسان شده و کلینوپیروکسن با میانبارهای سرپانتین در سنگ میزان دیده می‌شود. مجموعه کانی‌ها، روابط صحرایی و ترکیب شیمیایی کانی‌های دیوپسیدیت‌های گوشه در بخش شرقی افیولیت سبزوار نشان می‌دهد که آن‌ها برآمده از گردش سیال‌های گرمابی دما بالای (۵۵۰-۹۰۰ درجه سانتیگراد) غنی از سیلیس، منیزیوم، کلسیم، کربنات، سولفات و کلرید در گوشه بالایی هستند. این سیال‌ها پیش از رسیدن به گوشه، سنگ‌های غنی از پلازیوکلاز (گابروهای پوسته پایینی) را شسته‌اند.

واژه‌های کلیدی: افیولیت؛ سبزوار؛ دیوپسیدیت؛ سنگ‌زایی؛ ایران مرکزی.

مقدمه

هورنبلنیدیت در نظر گرفته شده‌اند. بر اساس پژوهش‌های انجام شده، چرخش سیال‌های دما بالا در پوسته پایینی و گوشه بالایی باعث شسته شدن و فراهم کردن عناصر برای تشکیل دیوپسیدیت و هورنبلنیدیت در شکستگی‌ها و درزهای موجود در بالاترین بخش گوشه شده است. بررسی‌ها نشان داده است که همه کانی‌های معمول و بدون آب آذرین شامل پیروکسن، الیوین و پلازیوکلاز می‌توانند از سیال‌های دما بالا با دمای بین ۳۷۴ مذاب‌های سیلیکاتی و آب ابر بحرانی (دمای بالاتر از درجه سانتیگراد) متبلور شوند [۱۱]. افیولیت سبزوار به عنوان بخشی از باقیمانده سنگ‌کره اقیانوسی نئوتیسیس بزرگترین و کاملترین مجموعه افیولیتی در شمال شرق ایران است. در جنوب شرقی سلیمانیه واقع در بخش شرقی افیولیت سبزوار

گردش سیال‌های گرمابی وابسته به آب دریا در پوسته اقیانوسی عامل اصلی تبادل گرما و تغییرات شیمیایی است [۲،۱]. بررسی‌های سنگ‌شناسی و زمین‌شناسی‌ای نشان داده است که این سیال‌ها تا قاعده دایکه‌ای صفحه‌ای و بالاترین بخش توالی سنگ‌های درونی نفوذ کرده‌اند [۴،۳]. به تازگی مقالات متعددی در رابطه با نفوذ و گردش آب دریا و دگرگونی گرمابی در پوسته پایینی و بالاترین بخش گوشه اقیانوسی منتشر شده است [۱۰-۵]. در این مقالات، دیوپسیدیت و هورنبلنیدیت به عنوان فراورده‌های واکنش بین سنگ‌های پوسته پایینی و گوشه بالایی با سیال‌های گرمابی دما بالا (بیش از ۸۰۰ درجه سانتیگراد برای دیوپسیدیت و ۸۵۰-۷۰۰ درجه سانتیگراد برای

*نویسنده مسئول، تلفن: ۰۳۱۳۷۹۳۲۱۵۲، نامبر: ۰۳۱۳۷۹۳۲۱۵۳، پست الکترونیکی: moussanoghreyan@yahoo.com

استاندارد داخلی در نظر گرفته شد. در هر مرحله تجزیه، نمونه استاندارد شیشه بازالتی BIR-1G به عنوان استاندارد خارجی تجزیه شد. به جز Cs و Rb، نتایج همخوانی خوبی با مقادیر این نمونه استاندارد [۱۴] نشان می‌دهند.

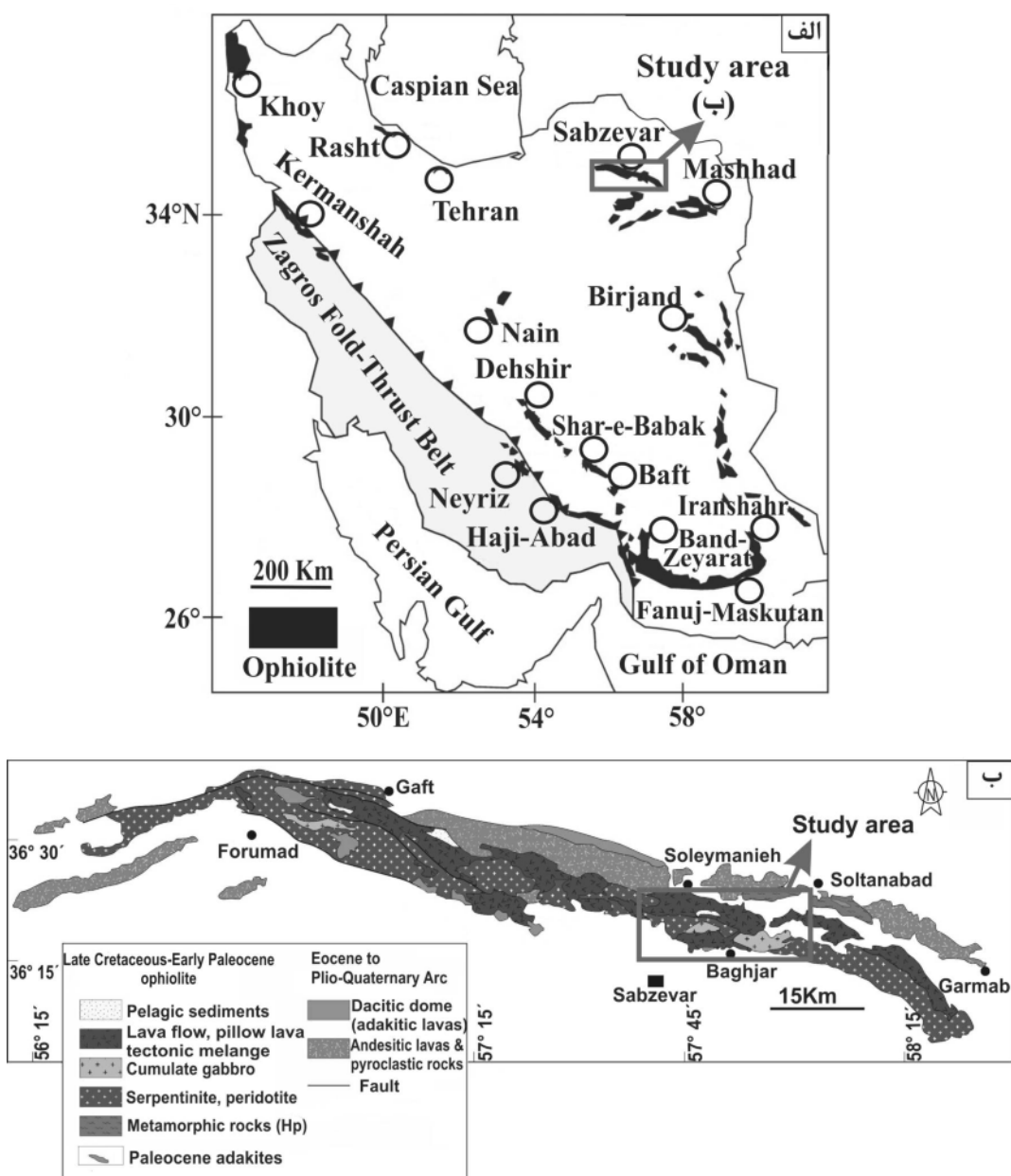
زمین‌شناسی عمومی منطقه

توالی افیولیتی سبزوار با روند تقریبی شرقی-غربی به طول ۱۵۰ و عرض ۳۰-۱۰ کیلومتر در شمال شرق ایران در شمال شهر سبزوار قرار دارد (شکل ۱ الف). بر اساس بررسی‌های انجام شده، شش مجموعه افیولیتی مربوط به زمان مژوزوئیک در شمال شرق ایران وجود دارد که افیولیت سبزوار بزرگترین و کامل‌ترین مجموعه افیولیتی منطقه است [۱۵]. این مجموعه‌های افیولیتی ویژگی‌های زمین‌ساختی مشابه دارند و مرز بین خرد قاره شرق-ایران مرکزی و صفحه توران (پهنه کپه داغ) را مشخص می‌کنند [۱۸-۱۵]. افیولیت سبزوار مشخص کننده بخشی از شاخه شمالی اقیانوس نئوتیس (اقیانوس سبزوار) و جزئی از حلقه آمیزه افیولیتی اطراف خرد قاره شرق-ایران مرکزی است. بررسی‌های زمین‌گاه‌شناسی اخیر نشان می‌دهد که چنین حوضه‌های اقیانوسی در دو دوره عمده طی ژوراسیک پسین-کرتاسه پیشین و کرتاسه پسین تشکیل شده-اند و بسته شدن این حوضه‌های اقیانوسی طی مژوزوئیک تا پالئوسن همراه با برخورد صفحه عربی با اوراسیا رخ داده است [۲۸-۱۹]. اگرچه توالی افیولیتی سبزوار مانند بیشتر مجموعه‌های افیولیتی ایران به صورت درهم ریخته است ولی شامل همه سنگ‌هایی است که مشخص کننده یک واحد افیولیتی کامل است (شکل ۱ ب). سنگ‌های گوشته‌ای این توالی بیشتر شامل هارزبورزیت و کمی دونیت و لرزولیت است. این سنگ‌ها گسترش زیادی دارند و بخش اصلی این توالی افیولیتی را تشکیل می‌دهند. عدسی‌های بزرگی از کرومیت در دونیت‌ها به‌ویژه در بخش غربی این توالی افیولیتی دیده می‌شود. در بعضی مناطق دایک‌های دیابازی، میکروگابروی، پگماتوئیدی و آمفیولیتی این پریدوتیت‌ها را قطع کرده‌اند که به‌طور جزئی به رودنژیت تبدیل شده‌اند. رگه‌هایی از پیروکسنیت نیز این پریدوتیت‌ها را قطع می‌کنند.

رگه‌هایی از دیوپسیدیت درون هارزبورزیت‌های گوشته دیده می‌شود. رگه‌های دیوپسیدیت احتمالاً نشان‌دهنده مسیر گردش سیال‌های گرمابی دما بالا هستند و با بررسی آن‌ها می‌توان ویژگی‌های فیزیکی و شیمیایی سیال‌های گرمابی وابسته را مشخص کرد. در این پژوهش، سنگ میزبان را شرح می‌دهیم و عملکرد گردش سیال‌های گرمابی دما بالا و دگرگونی گرمابی ناشی از آن را در بالاترین بخش گوشته اقیانوسی و پوسته پایینی بررسی می‌کنیم.

روش بررسی

پس از بازدیدهای صحرایی و نمونه‌برداری، به منظور بررسی-های سنگ‌نگاری و کانی‌شناسی، از نمونه‌های دیوپسیدیت، هارزبورزیت‌های میزبان و گابروهای منطقه مقاطع نازک تهیه شد. سپس جهت تعیین ترکیب شیمیایی کانی‌ها و محاسبه فرمول ساختاری آن‌ها از نمونه‌های مناسب مقاطع نازک صیقلی تهیه گردید و تجزیه نقطه‌ای کانی‌ها توسط دستگاه ریزپردازnde الکترونی JEOL مدل Cameca SX-100 با ولتاژ شتاب ۱۵kV، جریان ۲۰nA و زمان شمارش ۱۵-۲۰ ثانیه در دهنده ۱۵۰nm انجام شد. با این روش، ترکیب فرآوری مواد معدنی ایران انجام شد. با این داده‌های خام با برنامه ZAF تصحیح شدند. در محاسبه Fe^{2+} و Fe^{3+} برای به دست آوردن فرمول ساختاری کانی‌ها از روش ارائه شده توسط دروپ [۱۲] استفاده شد. مخفف‌های به کار برده شده برای نام کانی‌ها برگرفته از مرجع [۱۳] است. برای اندازه‌گیری عناصر خاکی نادر و کمیاب کلینوپیروکسن و پلازیوکلاز موجود در دیوپسیدیت‌ها و هارزبورزیت میزبان تجزیه فرساینده لیزرن-طیف سنجی جرمی-گسیل پلاسمای جفت شده القایی (LA-ICP-MS) بر این کانی‌ها انجام شد. این تجزیه توسط دستگاه لیزر Excimer، 193 nm به همراه Agilent طیفسنج جرمی پلاسمای جفت شده القایی مدل QQQ 8800 در انجمن علوم زمین آنالوژیا (دانشگاه گرادانا-اسپانیا) انجام گرفت. قطر نقطه تجزیه در حدود ۸۵ میکرومتر بوده است. برای واسنجی همه نمونه‌ها، مقدار ^{79}Si به عنوان



شکل ۱ (الف) جایگاه افیولیت سبزوار بر نقشه پراکنده‌ی افیولیت‌های مژوزوئیک در ایران، برگرفته از مرجع [۲۷] با اندکی تغییرات. (ب) نقشه زمین‌شناسی ساده از نوار افیولیتی شمال سبزوار بر اساس نقشه‌های زمین‌شناسی ۱۰۰۰۰۱/۱ سبزوار [۲۹] و فرودم [۳۰]، برگرفته از مرجع [۲۸] با اندکی تغییرات.

شمالی توالی بیرون‌زدگی دارند و به صورت بالشی و توده‌ای دیده می‌شوند. سنگ‌های رسوی افیولیت سبزوار نیز شامل آهک‌های فسیل‌دار لجه‌ای و چرت‌های رادیولاریت است که همراه با سنگ‌های آتشفسانی به صورت بین‌لایه‌ای بخش آتشفسانی-رسوی توالی را می‌سازند. همچنین در مجموعه افیولیتی سبزوار توده‌هایی از سنگ‌های دگرگونی شامل شیست سبز، میکا شیست، شیست آبی، آمفیبولیت، گرانولیت و مرمر وجود دارد که بیشتر در بخش مرکزی و شرقی توالی واقع

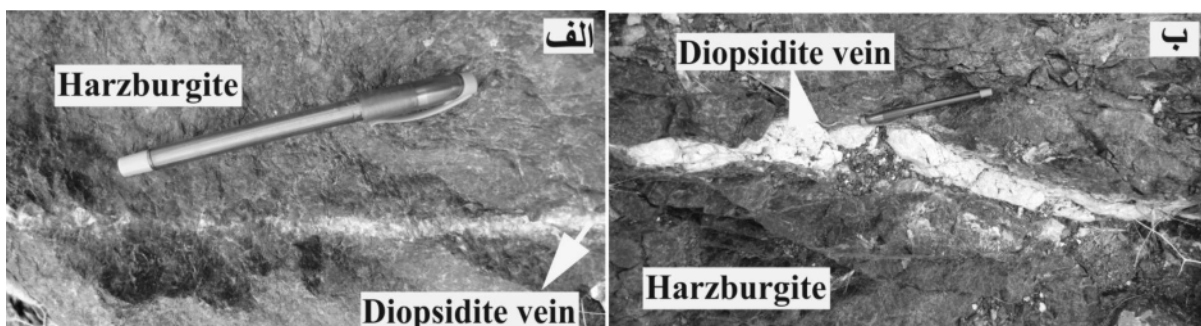
پریدوتیت‌های گوشه‌ای تا حد زیادی به سرپانتینیت تبدیل شده‌اند و بررسی‌های صحرایی نشان می‌دهد که سایر سنگ‌های افیولیت سبزوار درون این پریدوتیت‌های سرپانتینی شده شناور هستند. بخش پوسته‌ای این توالی افیولیتی شامل پریدوتیت‌های انباشت‌سنگ، گابروی لایه‌ای، گابروی همسانگرد، دایک‌های دلریتی-میکروگابرویی، پلازیوگرانیت، دایک‌های صفحه‌ای، سنگ‌های آتشفسانی، آتشفسانی-رسوی و رسوی است. سنگ‌های آتشفسانی افیولیت سبزوار بیشتر در بخش

انتقال از چند میلی‌متر تا چند سانتی‌متر تغییر می‌کند. رگه‌ها بافت‌هایی مشابه اسکارن‌ها در هاله‌های دگرگونی مجاورتی و یا رودنژیت‌های موجود در توده‌های سرپانتینی شده دارند. مرکز رگه‌ها گرانوبلاستیک نشان می‌دهد و بیشتر شامل کلینوپیروکسن است که توسط رگه‌های کربنات قطع شده است (شکل‌های ۳ الف و ب). مرز بین کلینوپیروکسن خالص و پریدوتیت میزبان معمولاً تدریجی است و بوسیله بافت‌ها و کانی‌های جایگزین مشخص می‌شود. این مرز یک منطقه کم و بیش گسترش یافته شامل ریزلولورهایی از الیون، کلینوپیروکسن، سرپانتین، کلریت، کربنات و ترمولیت با بافت الیافی و تنش آواری است (شکل‌های ۳ پ و ت). در بعضی موارد یک دیواره غنی از پلازیوکلاز در کناره رگه‌ها دیده می‌شود و پلازیوکلазها بیشتر به هیدروگراسولار تبدیل شده‌اند. این مشابه رودنژیتی شدن دیوپسیدیت‌ها و تشکیل رودنژیت‌های نوع ۲ در افیولیت عمان است [۶]. درجه رودنژیتی شدن از کناره رگه به سمت مرکز کاهش می‌یابد، به‌طوری که در محل تماس با هارزبورزیت میزبان هیچ پلازیوکلازی دیده نمی‌شود و کاملاً به هیدروگراسولار تبدیل شده است (شکل ۳ ب). به نظر می‌رسد که کلینوپیروکسن طی فرایند رودنژیتی شدن پایدارتر است و به صورت دانه‌های کوچک در بین هیدروگراسولارها پراکنده است. هارزبورزیت میزبان بر اساس جایگاه و نزدیکی به رگه‌ها درجات متفاوتی از دگرسانی را نشان می‌دهد، به‌طوری که در نزدیکی رگه‌ها سرپانتینی شدن شدیدتر است. افزون بر این، لکه‌هایی از درشت بلورهای پلازیوکلاز دگرسان شده و کلینوپیروکسن با میانبارهای سرپانتین در سنگ میزبان دیده می‌شود (شکل‌های ۴ الف-ت). در این پژوهش، این پریدوتیتها در مقایسه با هارزبورزیت‌های معمول تهی شده گوشه‌ته به عنوان هارزبورزیت غنی شده رده‌بندی شده است. این واحدها همچنین بوسیله رگه‌هایی از گابرونوریت پگماتوئیدی قطع شده‌اند.

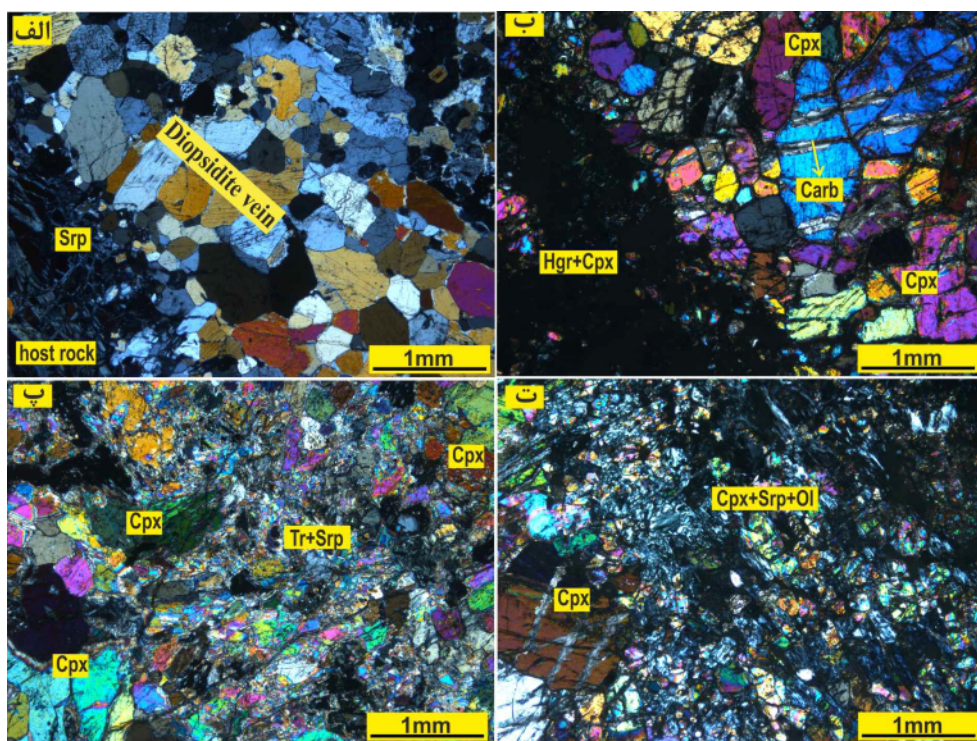
شده‌اند. پس از اینکه مشخص گردید که افیولیت‌ها قطعاتی از سنگ‌کره اقیانوسی هستند، علاقه به بررسی آن‌ها بسیار افزایش یافت. در واقع افیولیت‌ها مجموعه‌هایی هستند که با قسمت‌های عمیق پوسته اقیانوسی و گوشته بالایی منطبق بوده و به‌طور معمول غیر قابل دسترس هستند و می‌توان از آن‌ها اطلاعاتی در مورد سطوح اقیانوسی غیر قابل دسترس بدست آورد. در سال‌های اخیر، سنگ‌های فرامافیک گوشته‌ای موجود در مجموعه‌های افیولیتی موضوع بسیاری از پژوهش‌های مهم بوده‌اند. بررسی ویژگی‌های سنگ‌شناختی، کانی‌شناختی و زمین‌شیمیایی این سنگ‌ها اطلاعاتی را در رابطه با فرایندهای ذوب بخشی، درجه ذوب‌بخشی و تهی‌شدگی گوشه و همچنین واکنش‌های سنگ با مذاب و یا سیال‌ها، فعالیت دگرنهادی گوشه، ناهمنگی گوشه و محیط زمین‌ساختی اصلی (پهنه‌های فرافورانش یا پشته‌های میان اقیانوسی) که مجموعه افیولیتی در آن تشکیل شده است فراهم می‌کنند که می‌تواند در درک بیشتر چگونگی تکوین و تکامل چنین مجموعه‌هایی مورد استفاده قرار گیرد. در این پژوهش ما با بررسی ویژگی‌های سنگ‌نگاری و شیمی کانی رگه‌های دیوپسیدیت و هارزبورزیت میزبان، بخشی از عملکرد گردش سیال‌های گرمابی دما بالا و فعالیت دگرنهادی برآمده از آن را در گوشه بالایی بیان می‌کنیم.

روابط صحرایی و سنگ نگاری

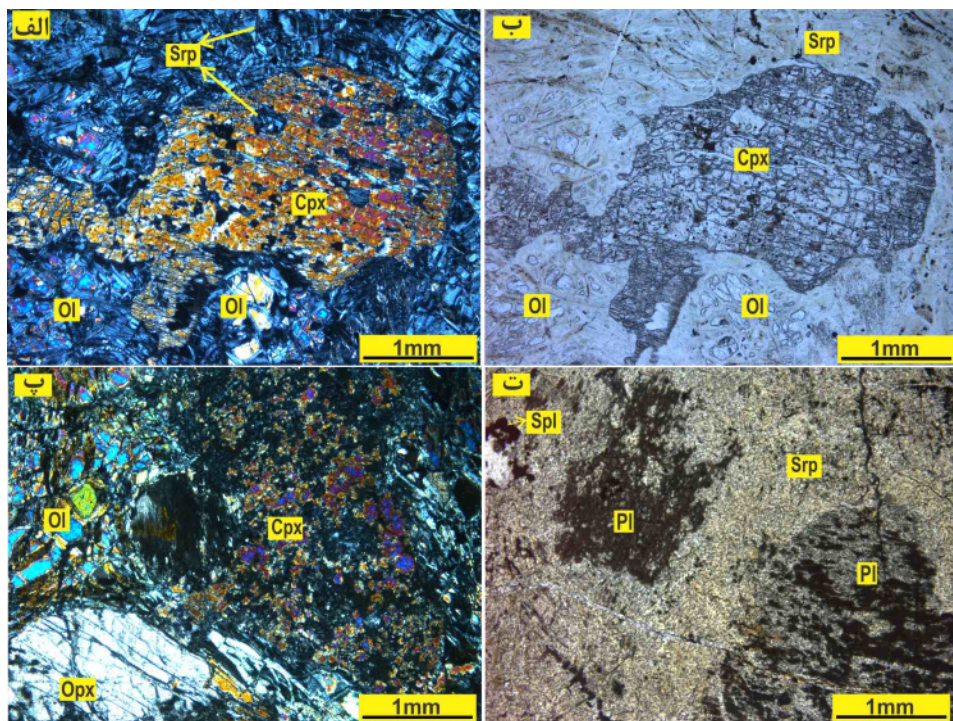
در جنوب شرقی سلیمانیه واقع در بخش شرقی افیولیت سبزوار (شکل ۱ ب) رگه‌هایی از دیوپسیدیت با رنگ سفید تا سبز کمرنگ با پهنه‌ای حدود ۱۵-۱ سانتی‌متر در هارزبورزیت‌های سرپانتینی شده گوشه وجود دارد (شکل ۲). بررسی‌های صحرایی نشان می‌دهد که این رگه‌ها، شبکه‌ای از درزهای پیشین هستند که توسط فراوردهای تبلور، برآمده از گردش مذاب یا سیال در این شکستگی‌ها، پر شده‌اند. مرز این رگه‌ها با سنگ میزبان واضح تا کمی تدریجی است و پهنه‌ای منطقه



شکل ۲ تصاویر صحرایی از رگه‌های دیوپسیدیت درون هارزبورزیت سرپانتینی شده در جنوب شرقی سلیمانیه.



شکل ۳ تصاویر میکروسکوپی از رگه‌های دیوپسیدیت: (الف) بافت گرانوبلاستیک کانی‌های کلینوپیروکسن در مرکز رگه. (ب) بافت گرانوبلاستیک در مرکز رگه و دیواره غنی از پلازیوکلاز که به هیدروگراسولار تبدیل شده است. (پ و ت): بافت تنفس آواری و الیافی در کناره رگه. علائم اختصاری کانی‌ها بر اساس مرجع [۱۳] است.



شکل ۴ تصاویر میکروسکوپی از هارزبورژیت میزان رگه‌های دیوپسیدیت (هارزبورژیت غنی‌شده) (الف-پ) لکه‌های کلینوپیروکسن درشت‌بلور با میانبارهای سرپانتین در هارزبورژیت میزان (تصویر ب در نور PPL تهیه شده است). (ت) لکه‌های پلازیوکلاز دگرسان شده در هارزبورژیت میزان در نور PPL. علائم اختصاری کانی‌ها بر اساس مرجع [۱۳] است.

است (جدول‌های ۱ و ۳). با وجود این، کلینوپیروکسن موجود (Wo_{44.90-46.57} En_{49.04-49.98}) در همه نمونه‌ها از نوع دیوپسید است. عدد منزیوم آن‌ها (Mg# = 100*Mg/Mg + Fe²⁺) بسیار بالا (۹۷/۸۷-۹۵/۷۶) است، در حالی که مقدار آلومینیوم، سدیم، تیتان و کروم آن‌ها بسیار پایین است.

شیمی کانی
عنصر اصلی: داده‌های حاصل از تجزیه ریزپردازشی و LA-ICP-MS دیوپسیدیت‌ها نشان می‌دهد که ترکیب کلینوپیروکسن در نمونه‌های مختلف و حتی کلینوپیروکسن‌های در یک مقطع میکروسکوپی بسیار متغیر

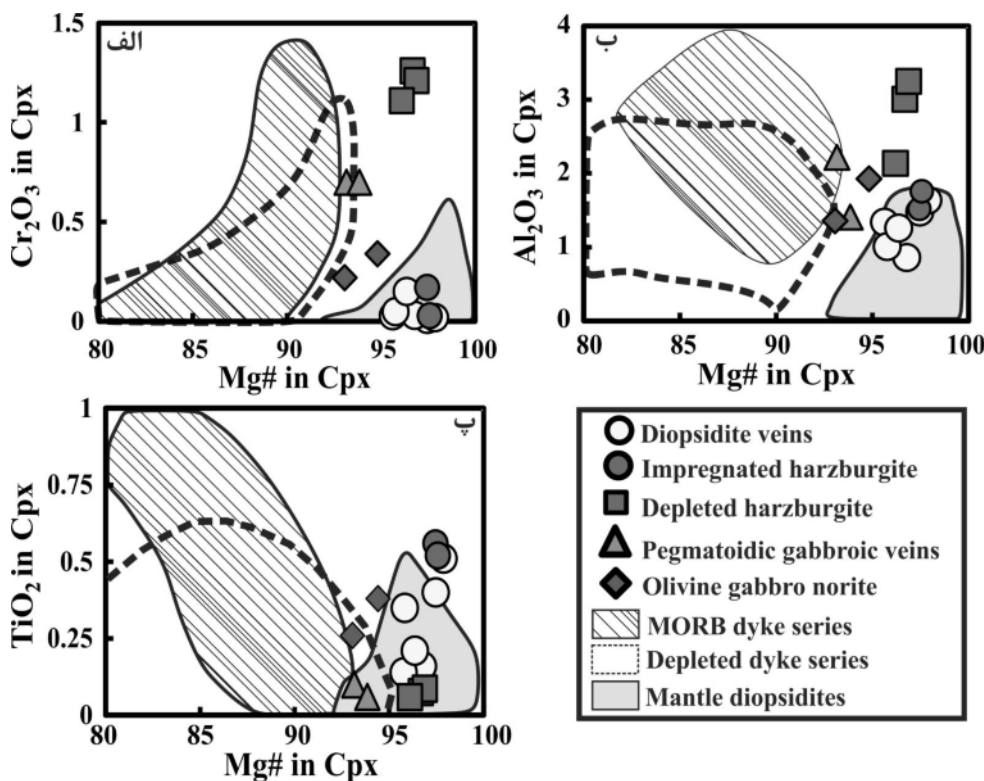
جدول ۱ نتایج تجزیه ریزپردازشی کلینوپیروکسن (Cpx) و آمفیبول (Amp) در سنگ‌های مورد بررسی و محاسبه اعصاری پایانی و فرمول ساختاری آن‌ها به ترتیب بر پایه ۶ و ۲۳ اتم اکسیژن. Di: دیوپسیدیت، IHZ: هاربورژیت غنی‌شده، Pg-vein: رگه گابرونوریت پگماتوئیدی و Ol-Ga-Nr: الیوین گابرونوریت.

| سنگ‌شناسی | Di | Di | Di | Di | Di | Di | IHZ | IHZ | DHZ | DHZ | DHZ | Pg-vein | Pg-vein | Ol-Ga-Nr | Ol-Ga-Nr | Di | Di |
|--------------------------------|---------|--------|--------|-------|--------|--------|--------|-------|--------|--------|--------|---------|---------|----------|----------|-------|--------|
| کانی | Cpx | Cpx | Cpx | Cpx | Cpx | Cpx | Cpx | Cpx | Cpx | Cpx | Cpx | Cpx | Cpx | Cpx | Cpx | Amp | Amp |
| شماره نمونه | P-7 | P-7 | P-7 | P-7 | P-7 | P-7 | P-7 | P-7 | DU2-1 | DU2-1 | DU2-1 | P6-1 | P6-1 | g-75 | g-75 | P-7 | P-7 |
| شماره نقطه | ۱ | ۲ | ۳ | ۶ | ۷ | ۸ | ۱۳ | ۱۴ | ۲۶ | ۲۷ | ۲۸ | ۱۱ | ۱۲ | ۱۸ | ۱۹ | ۱۵ | ۱۶ |
| SiO ₂ (wt.%) | ۵۳/۲۵ | ۵۳/۱۱ | ۵۴/۰۰ | ۵۴/۱۲ | ۵۴/۴۶ | ۵۴/۲۱ | ۵۲/۶ | ۵۲/۶۶ | ۵۲/۵ | ۵۲/۲۹ | ۵۲/۴۴ | ۵۲/۹۸ | ۵۴/۲۲ | ۵۲/۱۱ | ۵۲/۳ | ۵۷/۳۳ | ۵۷/۲۲ |
| TiO ₂ | ۰/۴۰ | ۰/۵۱ | ۰/۳۵ | ۰/۱۶ | ۰/۱۴ | ۰/۲۱ | ۰/۵۶ | ۰/۵۲ | ۰/۰۸ | ۰/۰۶ | ۰/۰۹ | ۰/۱۰ | ۰/۰۶ | ۰/۳۸ | ۰/۲۶ | ۰/۱۵ | ۰/۰۵ |
| Al ₂ O ₃ | ۱/۴۸ | ۱/۶۴ | ۱/۳۴ | ۰/۸۶ | ۱/۰۱ | ۱/۲۶ | ۱/۵۲ | ۱/۷۶ | ۳/۰۱ | ۳/۲۵ | ۲/۰۹ | ۲/۲۲ | ۱/۴۱ | ۱/۹۳ | ۱/۳۶ | ۱/۱۴ | ۱/۰۴ |
| Cr ₂ O ₃ | ۰/۰۱ | • | ۰/۰۱ | ۰/۰۳ | ۰/۰۳ | ۰/۱۵ | ۰/۱۷ | ۰/۰۱ | ۱/۲۶ | ۱/۲۱ | ۱/۱۱ | ۰/۷ | ۰/۷ | ۰/۳۴ | ۰/۲۲ | ۰/۰۵ | ۰/۰۸ |
| FeO | ۳/۲ | ۲/۰۶ | ۲/۰۵ | ۲/۲۸ | ۲/۲۴ | ۲/۳۹ | ۳/۰۵ | ۳/۱ | ۱/۰۵ | ۱/۰۶ | ۱/۲۳ | ۲/۹۵ | ۲/۸ | ۶/۱۲ | ۵/۱۴ | ۲/۴۴ | ۲/۴۹ |
| MnO | • | • | • | • | • | • | • | • | ۰/۰۷ | ۰/۱۱ | ۰/۰۶ | • | • | ۰/۱۶ | ۰/۱۴ | • | • |
| MgO | ۱۸/۰۸ | ۱۸/۲ | ۱۸/۴ | ۱۸/۱۵ | ۱۸/۱۴ | ۱۸/۲۷ | ۱۸/۱۶ | ۱۸/۰۹ | ۱۷/۱۷ | ۱۷/۵۴ | ۱۷/۰۱ | ۱۷/۱۷ | ۱۷/۴۶ | ۱۷/۷ | ۱۶/۴۴ | ۲۳/۲۲ | ۲۳/۳۸ |
| CaO | ۲۳/۲۴ | ۲۳/۲۲ | ۲۳/۱۱ | ۲۳/۱۸ | ۲۳/۶ | ۲۳/۵۲ | ۲۳/۵۱ | ۲۳/۰۶ | ۲۴/۵ | ۲۴/۳۱ | ۲۴/۸۸ | ۲۳/۰۴ | ۲۴/۳۱ | ۲۱/۸ | ۲۳/۵۷ | ۱۳/۶۲ | ۱۳/۴۹ |
| Na ₂ O | ۰/۲۳ | ۰/۲۳ | ۰/۲۱ | ۰/۱۸ | ۰/۱۶ | ۰/۲۳ | ۰/۲۷ | ۰/۲۴ | ۰/۰۶ | ۰/۰۴ | ۰/۰۹ | ۰/۲۳ | ۰/۱۲ | ۰/۲۶ | ۰/۲۰ | ۰/۲۳ | ۰/۲۵ |
| K ₂ O | ۰/۰۴ | • | • | • | • | • | • | • | ۰/۰۱ | ۰/۰۲ | • | • | ۰/۰۱ | ۰/۰۲ | • | • | ۰/۰۵ |
| مجموع | ۹۹/۹۳ | ۹۹/۹۷ | ۱۰۰/۴۷ | ۹۹/۹۶ | ۱۰۰/۰۵ | ۱۰۰/۲۵ | ۱۰۰/۸۴ | ۹۹/۷۷ | ۱۰۰/۷۱ | ۱۰۰/۸۹ | ۱۰۰/۰۹ | ۹۹/۳۹ | ۱۰۰/۸۷ | ۹۹/۹۰ | ۹۹/۷۲ | ۹۸/۱۸ | ۹۸/۰۵ |
| Si | ۱/۹۴۲ | ۱/۹۳۵ | ۱/۹۵۳ | ۱/۹۷۲ | ۱/۹۷۲ | ۱/۹۶۱ | ۱/۹۳۷ | ۱/۹۲۴ | ۱/۹۲۴ | ۱/۹۱۳ | ۱/۹۴۰ | ۱/۹۵۵ | ۱/۹۰۸ | ۱/۹۳۶ | ۷/۸۱۳ | ۷/۸۰۷ | |
| Al ^{IV} | ۰/۰۵۷ | ۰/۰۶۴۶ | ۰/۰۴۶۵ | ۰/۰۲۸ | ۰/۰۲۸ | ۰/۰۳۸ | ۰/۰۶۲ | ۰/۰۷۶ | ۰/۰۷۸ | ۰/۰۸۶ | ۰/۰۵۹ | ۰/۰۵۹ | ۰/۰۴۴ | ۰/۰۸۲۲ | ۰/۰۵۹۳ | ۰/۱۸۳ | ۰/۱۶۷ |
| Al ^{VI} | ۰/۰۰۰۵۸ | ۰/۰۰۰۵ | ۰/۰۱۰ | ۰/۰۰۹ | ۰/۰۱۵ | ۰/۰۱۵ | ۰/۰۰۲ | ۰/۰۰۱ | ۰/۰۵۲۳ | ۰/۰۵۱ | ۰/۰۳۰ | ۰/۰۳۶ | ۰/۰۱۵ | • | • | • | • |
| Fe ³⁺ | ۰/۰۷۱ | ۰/۰۷۱ | ۰/۰۴۶ | ۰/۰۳۶ | ۰/۰۲۴ | ۰/۰۳۵ | ۰/۰۶۶ | ۰/۰۷۰ | • | ۰/۰۰۱ | • | ۰/۰۲۱ | ۰/۰۲۲ | ۰/۱۳۲ | ۰/۰۹۰ | ۰/۰۹۵ | ۰/۱۲۴ |
| Cr | ۰/۰۰۳ | • | ۰/۰۰۳ | ۰/۰۰۱ | ۰/۰۰۱ | ۰/۰۰۴ | ۰/۰۰۴ | ۰/۰۰۳ | ۰/۰۳۶ | ۰/۰۳۴ | ۰/۰۳۲ | ۰/۰۲۰ | ۰/۰۲۰ | ۰/۰۱۰ | ۰/۰۰۶ | ۰/۰۰۵ | ۰/۰۰۸ |
| Ti | ۰/۰۱۱ | ۰/۰۱۴ | ۰/۰۰۹ | ۰/۰۰۳ | ۰/۰۰۴ | ۰/۰۰۵ | ۰/۰۱۵ | ۰/۰۲۲ | ۰/۰۰۲ | ۰/۰۰۲ | ۰/۰۰۲ | ۰/۰۰۳ | ۰/۰۰۱ | ۰/۰۱۰ | ۰/۰۰۷ | ۰/۰۱۵ | ۰/۰۰۵ |
| Fe ²⁺ | ۰/۰۲۵ | ۰/۰۲۱ | ۰/۰۴۵۹ | ۰/۰۳۲ | ۰/۰۴۷ | ۰/۰۳۷ | ۰/۰۲۵ | ۰/۰۲۴ | ۰/۰۳۱ | ۰/۰۳۰ | ۰/۰۳۷ | ۰/۰۶۹ | ۰/۰۶۱ | ۰/۰۵۳ | ۰/۰۶۸ | ۰/۱۸۲ | ۰/۱۶۰ |
| Mn | • | • | • | • | • | • | • | • | ۰/۰۰۲ | ۰/۰۰۳ | ۰/۰۰۲ | • | • | ۰/۰۰۵ | ۰/۰۰۴ | • | • |
| Mg | ۰/۹۸۳ | ۰/۹۸۸ | ۰/۹۹۲ | ۰/۹۸۶ | ۰/۹۹۳ | ۰/۹۸۵ | ۰/۹۷۸ | ۰/۹۸۵ | ۰/۹۲۰ | ۰/۹۳۹ | ۰/۹۲۰ | ۰/۹۳۷ | ۰/۹۲۸ | ۰/۹۶۶ | ۰/۹۰۷ | ۴/۷۱۷ | ۴/۷۵۶ |
| Ca | ۰/۹۰۸ | ۰/۹۰۶ | ۰/۸۹۵ | ۰/۹۳۱ | ۰/۹۱۵ | ۰/۹۱۲ | ۰/۹۱۰ | ۰/۹۰۲ | ۰/۹۷۵ | ۰/۹۳۵ | ۰/۹۶۸ | ۰/۹۰۳ | ۰/۹۳۹ | ۰/۸۵۵ | ۰/۹۳۵ | ۱/۹۸۸ | ۱/۹۷۲ |
| Na | ۰/۰۱۶ | ۰/۰۱۶ | ۰/۰۱۵ | ۰/۰۱۳ | ۰/۰۱۱ | ۰/۰۱۶ | ۰/۰۱۹ | ۰/۰۱۷ | ۰/۰۰۴ | ۰/۰۰۳ | ۰/۰۰۶ | ۰/۰۱۶ | ۰/۰۰۸ | ۰/۰۱۸ | ۰/۰۱۴ | ۰/۰۶۰ | ۰/۰۶۶ |
| K | ۰/۰۰۲ | • | • | • | • | • | • | • | ۰/۰۰۰۴ | ۰/۰۰۰۹ | • | • | ۰/۰۰۰۴ | ۰/۰۰۰۹ | • | • | ۰/۰۰۰۸ |
| مجموع | ۴/۰۲ | ۴/۰۲ | ۴/۰۱ | ۴/۰۱ | ۴/۰۰ | ۴/۰۱ | ۴/۰۲ | ۴/۰۲ | ۳/۹۹ | ۴/۰۰ | ۳/۹۹ | ۴/۰۰ | ۴/۰۰ | ۴/۰۴ | ۴/۰۲ | ۱۵/۰۶ | ۱۵/۰۷ |
| Wo | ۴۵/۳۰ | ۴۵/۲۳ | ۴۴/۹۰ | ۴۶/۵۷ | ۴۶/۰۴ | ۴۵/۹۳ | ۴۵/۰۲ | ۴۵/۱۵ | ۴۹/۶۲ | ۴۸/۹۱ | ۵۰/۰۳ | ۴۶/۴۰ | ۴۷/۶۶ | ۴۲/۱۲ | ۴۶/۳۰ | | |
| En | ۴۹/۰۴ | ۴۹/۳۳ | ۴۹/۷۵ | ۴۹/۳۲ | ۴۹/۹۸ | ۴۹/۶۲ | ۴۸/۹۳ | ۴۹/۲۸ | ۴۸/۳۹ | ۴۹/۱۰ | ۴۷/۶۰ | ۴۸/۱۲ | ۴۷/۶۲ | ۴۷/۵۹ | ۴۴/۹۴ | | |
| Fs | ۴/۱۳ | ۴/۶۲ | ۴/۶۰ | ۳/۴۶ | ۳/۴۰ | ۳/۶۳ | ۴/۵۸ | ۴/۷۰ | ۱/۷۷ | ۱/۸۴ | ۲/۰۲ | ۴/۶۲ | ۴/۲۷ | ۹/۳۷ | ۸/۰۴ | | |
| Ac | ۰/۸۱ | ۰/۸۱ | ۰/۷۳ | ۰/۶۳ | ۰/۵۶ | ۰/۸۱ | ۰/۹۴ | ۰/۸۵ | ۰/۲۱ | ۰/۱۴ | ۰/۳۲ | ۰/۸۳ | ۰/۴۲ | ۰/۹۱ | ۰/۷۱ | | |
| Mg# | ۹۷/۴۶ | ۹۷/۸۷ | ۹۵/۶۲ | ۹۶/۷۸ | ۹۵/۷۶ | ۹۶/۳۶ | ۹۷/۴۴ | ۹۷/۵۸ | ۹۶/۶۷ | ۹۶/۸۷۷ | ۹۶/۱۰ | ۹۳/۱۶ | ۹۳/۸۴ | ۹۴/۸۱ | ۹۳/۰۶ | ۹۶/۲۷ | ۹۶/۷۵ |

Note: FeO* = FeO total; Mg# = 100*Mg/(Mg + Fe²⁺).

مقایسه با کلینوپیروکسن موجود در هارزبورژیت تهی شده (نمونه ۱-DU-2)، مقدار Al_2O_3 و Cr_2O_3 کمتر و TiO_2 بالاتر دارند (شکل ۵). آمفیبول معمولاً در مرکز رگه‌های دیوپسیدیت وجود ندارند و در کناره رگه‌ها در محل تماس با سنگ میزان همراه با ریزلولرهای الیوین، پیروکسن و سرپاتینیت دیده می‌شود. این آمفیبول‌ها عدد منیزیوم بالایی دارند (۹۶,۲۷-۹۶,۷۵) و ترکیب آن‌ها ترمولیت است. پلازیوکلاز موجود در دیواره رگه‌های دیوپسیدیت غنی از کلسیم است ($\text{An}_{98.09}$ - $\text{An}_{98.64}$) مقدار آنورتیت این پلازیوکلازها با پلازیوکلاز موجود در الیوین گابرونوریت انباشتی پوسته پایینی منطقه (نمونه g-75) با $\text{An}_{91.32}$ - $\text{An}_{92.71}$ متفاوت است (جدول ۲). پلازیوکلازهای موجود در رگه‌های دیوپسیدیت و هارزبورژیت میزان بیشتر به هیدروگراسولار تبدیل شده‌اند. منیزیوم و آهن موجود در هیدروگراسولار برآمده از دگرسانی پلازیوکلاز دیوپسیدیت‌ها در مقایسه با هیدروگراسولار هارزبورژیت غنی‌شده بسیار کمتر است (جدول ۲).

مقدار Al_2O_3 آن‌ها از ۰,۸۶ تا ۱,۶۴ درصد وزنی، TiO_2 از ۰,۱۴ تا ۰,۵۱ درصد وزنی و Cr_2O_3 از ۰,۱۵ تا ۰,۴۰ درصد وزنی تغییر می‌کند. علاوه بر این، عدد منیزیوم این دیوپسیدها از کلینوپیروکسن موجود در الیوین گابرونوریت انباشتی پوسته پایینی (نمونه ۷۵-g) با عدد منیزیوم ۹۴,۸۱-۹۳,۰۶ و کلینوپیروکسن رگه گابرونوریت پگماتوئیدی در هارزبورژیت گوشه منطقه (نمونه P-6) با عدد منیزیوم ۹۳,۱۶-۹۳,۸۴ نیز بالاتر است. در نمودار $\text{Mg}^{\#}$ - Al_2O_3 نسبت به Al_2O_3 و TiO_2 و Cr_2O_3 ، این پیروکسن‌ها در گستره کلینوپیروکسن دیوپسیدیت‌های گوشه [۵] قرار می‌گیرند (شکل ۵) و ترکیب عناصر اصلی این کلینوپیروکسن‌ها با ترکیب این کانی در سنگ‌های آذرین متفاوت است و خارج از گستره پیروکسن موجود در دایک‌های مافیک قطع کننده پریدوتیت‌های گوشه موجود می‌گیرد [۳۱]. این شواهد خاستگاه ماقمایی را برای تشکیل کلینوپیروکسن در دیوپسیدیت‌ها رد می‌کند. ترکیب شیمیایی لکه‌های کلینوپیروکسن موجود در هارزبورژیت غنی‌شده مشابه ترکیب این کانی در رگه‌های دیوپسیدیت است و در



شکل ۵ نمودار $\text{Mg}^{\#}$ نسبت به Cr_2O_3 (الف)، Al_2O_3 (ب) و TiO_2 (پ) برای کلینوپیروکسن در دیوپسیدیت‌ها، هارزبورژیت غنی‌شده، الیوین گابرونوریت پوسته پایینی، رگه گابرونوریت پگماتوئیدی در هارزبورژیت گوشه و هارزبورژیت تهی شده در منطقه مورد بررسی. ترکیب عناصر اصلی کلینوپیروکسن دیوپسیدیت‌ها و هارزبورژیت غنی‌شده با ترکیب این کانی در سنگ‌های آذرین متفاوت است و خارج از گستره پیروکسن موجود در دایک‌های مافیک قرار می‌گیرد [۳۱]. گستره دیوپسیدیت‌های گوشه برگرفته از مرجع [۵] است.

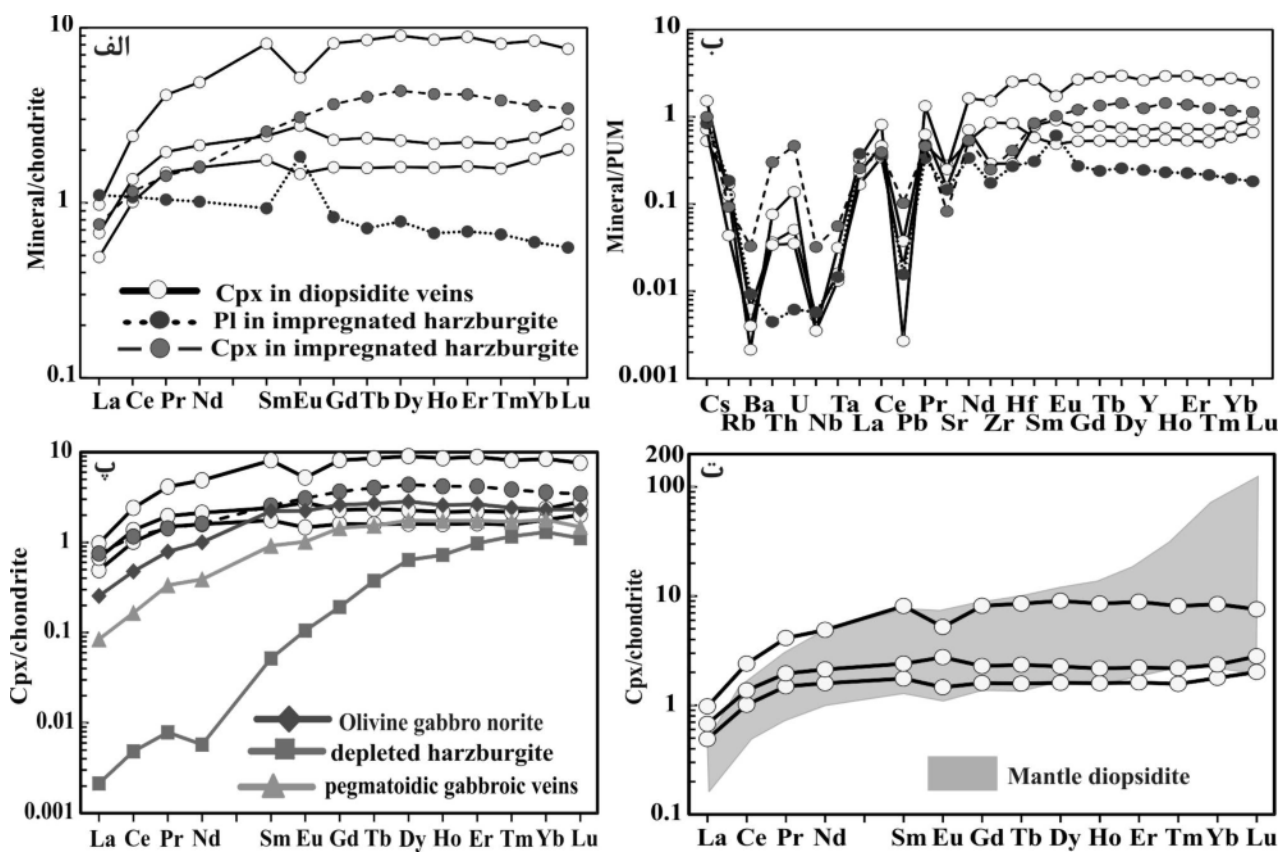
جدول ۲ نتایج تجزیه ریزپردازشی پلازیوکلاز (Pl) و هیدروگراسولار (Hgr) در سنگ‌های مورد بررسی و محاسبه اعضاًی پایانی و فرمول ساختاری آنها، به ترتیب بر پایه ۸ و ۱۲ اتم اکسیژن. IHZ: هارزبورزیت غنی‌شده، Di: دیوپسیدیت و Ol-Ga-Nr: الیوین گابرونوریت.

| سنگ‌شناسی | Di | Di | Ol-Ga-Nr | Ol-Ga-Nr | سنگ‌شناسی | Di | Di | IHZ | IHZ |
|--------------------------------|--------|--------|----------|----------|--------------------------------|-------|--------|--------|--------|
| کانی | Pl | Pl | Pl | Pl | کانی | Hgr | Hgr | Hgr | Hgr |
| شماره نمونه | P-7 | P-7 | g-75 | g-75 | شماره نمونه | P-7 | P-7 | P-7 | P-7 |
| شماره نقطه | ۴ | ۵ | ۱ | ۲ | شماره نقطه | ۹ | ۱۰ | ۲۴ | ۲۵ |
| SiO ₂ (wt. %) | ۴۳,۲۱ | ۴۲,۶۳ | ۴۵,۴ | ۴۴,۶۵ | SiO ₂ (wt. %) | ۲۹,۶۸ | ۳۰,۷۵ | ۳۱,۱۳ | ۳۰,۴۳ |
| TiO ₂ | ۰,۰۳ | ۰,۰۱ | ۰,۰۷ | ۰ | TiO ₂ | ۰ | ۰,۰۴ | ۰,۰۱ | ۰,۰۱ |
| Al ₂ O ₃ | ۲۵,۸۱ | ۳۶,۲۹ | ۳۴,۶۴ | ۳۴,۷۴ | Al ₂ O ₃ | ۲۱,۴۶ | ۲۱,۳۶ | ۱۸,۲۹ | ۲۱,۳۲ |
| Cr ₂ O ₃ | ۰ | ۰ | ۰ | ۰ | Cr ₂ O ₃ | ۰ | ۰ | ۰,۰۴ | ۰,۰۳ |
| FeO* | ۰,۳۱ | ۰,۳۷ | ۰,۲۳ | ۰,۳۵ | FeO* | ۱,۲۲ | ۱,۳۹ | ۹,۹۳ | ۵,۹۱ |
| MnO | ۰ | ۰ | ۰ | ۰ | MnO | ۰ | ۰ | ۰ | ۰ |
| MgO | ۰,۰۸ | ۰,۰۵ | ۰,۱۰ | ۰ | MgO | ۱,۲۵ | ۰,۸۳ | ۴,۷۷ | ۲,۲۴ |
| CaO | ۲۰,۱۷ | ۲۰,۵۸ | ۱۸,۲۶ | ۱۸,۸۷ | CaO | ۳۶,۸۷ | ۳۷,۶۳ | ۲۸,۲ | ۳۱,۷۵ |
| Na ₂ O | ۰,۲۱ | ۰,۱۵ | ۰,۹۲ | ۰,۸۲ | Na ₂ O | ۰,۰۲ | ۰,۰۳ | ۰,۰۳ | ۰,۰۵ |
| K ₂ O | ۰,۰۱ | ۰,۰۱ | ۰,۰۶ | ۰ | K ₂ O | ۰ | ۰ | ۰ | ۰ |
| مجموع | ۹۹,۸۳ | ۱۰۰,۱۹ | ۹۹,۶۸ | ۹۹,۴۳ | مجموع | ۹۰,۵ | ۹۲,۰۳ | ۹۲,۴ | ۹۱,۷۴ |
| Si | ۲,۰۱ | ۱,۹۸ | ۲,۰۹۵ | ۲,۰۶۹ | Si | ۲,۵۴۰ | ۲,۵۸۷ | ۲,۶۰۹ | ۲,۵۶۳ |
| Ti | ۰,۰۰۱ | ۰ | ۰,۰۰۲ | ۰ | Al ^{IV} | ۰,۴۵۹ | ۰,۴۱۲ | ۰,۳۹۰ | ۰,۴۳۶ |
| Al | ۱,۹۶۶ | ۱,۹۹۱ | ۱,۸۸۶ | ۱,۸۹۸ | Al ^{VI} | ۱,۷۱۳ | ۱,۷۱۴ | ۱,۴۵۳ | ۱,۷۰۳ |
| Fe ^{۳+} | ۰,۰۰۵ | ۰,۰۰۶ | ۰,۰۱۸ | ۰,۰۲۷ | Ti | ۰ | ۰,۰۰۲۵ | ۰,۰۰۰۶ | ۰,۰۰۰۶ |
| Mn | ۰ | ۰ | ۰ | ۰ | Cr | ۰ | ۰ | ۰,۰۰۲ | ۰,۰۰۱ |
| Mg | ۰,۰۰۴ | ۰,۰۰۳ | ۰,۰۰۷ | ۰ | Fe ^{۳+} | ۰,۰۸۷ | ۰,۰۹۷ | ۰,۴۸۰ | ۰,۲۶۳ |
| Ca | ۱,۰۰۶ | ۱,۰۲۶ | ۰,۹۰۳ | ۰,۹۳۷ | Fe ^{۲+} | ۰ | ۰ | ۰,۲۱۶ | ۰,۱۵۳ |
| Na | ۰,۰۱۹ | ۰,۰۱۳ | ۰,۰۸۲ | ۰,۰۷۴ | Mg | ۰,۱۵۹ | ۰,۱۰۴ | ۰,۵۹۶ | ۰,۲۸۱ |
| K | ۰,۰۰۰۵ | ۰,۰۰۰۵ | ۰,۰۰۰۴ | ۰ | Ca | ۲,۳۸۱ | ۲,۳۹۲ | ۲,۵۳۲ | ۲,۸۶۵ |
| مجموع | ۵,۰۱۲ | ۵,۰۲۵ | ۴,۹۹۸ | ۵,۰۰۵ | مجموع | ۸,۳۴۱ | ۸,۳۱۰ | ۸,۲۸۲ | ۸,۲۶۹ |
| Ab | ۱,۸۴ | ۱,۳۰ | ۸,۳۳ | ۷,۲۹ | آندرادیت | ۵,۱۵ | ۵,۶۷ | ۲۷,۶۲ | ۱۵,۳۹ |
| An | ۹۸,۱۹ | ۹۸,۶۴ | ۹۱,۳۲ | ۹۲,۷۱ | گروسولار | ۸۸,۵۶ | ۹۰,۳۰ | ۴۹,۳۹ | ۷۳,۵۲ |
| Or | ۰,۰۵ | ۰,۰۵ | ۰,۳۶ | ۰ | پیروپ | ۶,۲۷ | ۴,۰۲ | ۲۲,۸۴ | ۱۰,۹۷ |

کل FeO :FeO*

مشابهی دارد (شکل ۶ ب). این کانی‌ها در نمودار عناصر کمیاب بهنجارشده نسبت به گوشته اولیه [۳۲]، بی‌هنجاری مثبت برای Nd, Pb و Ba, Sr, Nb و Pr و بی‌هنجاری منفی برای Zr, Ca, Al و U. نسبت به عناصر مجاور نشان می‌دهند (شکل ۶ ب). کلینوپیروکسن هارزبورزیت غنی‌شده در نمودار عناصر خاکی نادر بهنجارشده نسبت به کندریت تغییر روند افزایشی از عناصر خاکی نادر بهنجارشده نسبت به کندریت روند افزایشی (شکل ۶ الف) و نسبت به کلینوپیروکسن هارزبورزیتهای معمول گوشته هارزبورزیت تهی‌شده بسیار غنی‌تر است (شکل ۶ ب). در نمودار عناصر کمیاب بهنجارشده نسبت به گوشته اولیه برای این کانی، Nd و Pr نسبت به عناصر مجاور خود بی‌هنجاری مثبت دارند، در حالی که Pb, Ba, Sr, Nb و Zr می‌نمایند (شکل ۶ ب). پلازیوکلاز هارزبورزیت غنی‌شده در نمودار عناصر خاکی نادر بهنجارشده نسبت به کندریت روند کاهشی از عناصر خاکی نادر سبک تا سنگین دارد و بی‌هنجاری مثبت Eu نشان می‌دهد (شکل ۶ الف). با این داده و بی‌هنجارشده نسبت به گوشته اولیه برای Di و Ol-Ga-Nr نسبت به گوشته اولیه ایجاد شده است (P-7-1 و P-7-3).

عنصر کمیاب و خاکی نادر: الگوی عناصر خاکی نادر بهنجارشده نسبت به کندریت [۳۲] برای کلینوپیروکسن دیوپسیدیت‌ها تهی شدگی از عناصر خاکی نادر سبک و افزایش یکنواخت از Sm تا La داشتند. آن‌ها الگوی صاف تا کمی متغیر از Gd تا Lu دارند. افزون بر این، کلینوپیروکسن در رگه‌های دربردارنده پلازیوکلاز (P-7-1) و (P-7-4) بی‌هنجاری منفی Eu و در رگه‌های بدون پلازیوکلاز (Eu) بی‌هنجاری مثبت Eu نشان می‌دهند (شکل ۶ الف). با این وجود، مقدار عناصر خاکی نادر در کلینوپیروکسن‌های درون P-7-1 و P-7-3 ترکیب کلینوپیروکسن در رگه‌های دیوپسیدیت موردن بررسی در گستره دیوپسیدیت‌های گوشته [۸] قرار می‌گیرد (شکل ۶ ت) و نسبت به کلینوپیروکسن رگه‌های گابرونوریت پگماتوئیدی در هارزبورزیت گوشته و الیوین گابرونوریت انباست سنگ پوسته پایینی از عناصر خاکی نادر سبک غنی‌تر است، در حالی که مقدار عناصر خاکی نادر متوسط و سنگین بیشتر یا



شکل ۶ (الف) نمودار عناصر خاکی نادر بهنجرشده به کندریت [۳۲] برای کلینوپیروکسن دیوپسیدیت‌ها و کلینوپیروکسن و پلازیوکلاز هارزبورژیت غنی شده. (ب) نمودار عناصر کمیاب بهنجرشده نسبت به گوشته اولیه (PUM) [۳۲] برای کلینوپیروکسن دیوپسیدیت‌ها و کلینوپیروکسن و پلازیوکلاز هارزبورژیت غنی شده. (پ) مقایسه ترکیب کلینوپیروکسن دیوپسیدیت‌ها و هارزبورژیت غنی شده با کلینوپیروکسن در الیون گابریونریت پوسه پایینی، رگه گابریونریت پگماتوئیدی در هارزبورژیت گوشته و هارزبورژیت تهی شده. (ت) نمودار عناصر خاکی نادر بهنجرشده به کندریت [۳۲] برای کلینوپیروکسن دیوپسیدیت‌های مورد بررسی در مقایسه با دیوپسیدیت‌های گوشته [۸].

که ترکیب شیمیایی آن به عضو پایانی کلسیم دار نزدیک است (دارای تقریباً ۹۸ درصد آنورتیت) که با ترکیب پلازیوکلاز در سنگ‌های آذرین متفاوت است [۵]. ویژگی‌های بافتی شامل بافت الیافی، وجود دیوپسیدیت‌های ریز در زمینه سرپانتین و تغییرات در اندازه بلورها به هسته بندی و تبلور سریع اشاره دارد. این شرایط بافتی همراه با ناهمگنی‌های شیمیایی مشاهده شده در ترکیب کلینوپیروکسن‌ها نشان دهنده شرایط عدم تعادل هنگام تشکیل دیوپسیدیت‌هاست. ویژگی‌های شیمیایی غیرماگمایی کانی‌ها، مشخصه‌های بافتی و نمودهای صحرایی پیشنهاد می‌کند که رگه‌های دیوپسیدیت به احتمال زیاد نتیجه فعالیت دگرنهادی ناشی از گرم شدن مجدد سنگ میزان در حضور سیال‌ها هستند.

بحث و بررسی

ترکیب کلینوپیروکسن‌ها در دیوپسیدیت‌های گوشته مورد بررسی به عضو پایانی منیزیومدار نزدیک است (دارای عدد منیزیوم بیش از ۹۵ درصد)، در حالی که مقدار آلمنیوم، سدیم، تیتان و بهویژه کروم آن‌ها بسیار پایین است. ترکیب عناصر اصلی این کلینوپیروکسن‌ها مشابه کلینوپیروکسن دیوپسیدیت‌های گوشته [۵] بوده و با ترکیب این کانی در سنگ‌های آذرین متفاوت است (شکل ۵). این کلینوپیروکسن‌ها همچنین بی‌هنجری مثبت یا منفی در Eu نشان می‌دهند و تغییر ترکیب کلینوپیروکسن از یک نمونه نسبت به نمونه دیگر و حتی در یک مقطع میکروسکوپی (بهویژه در مورد عناصر خاکی نادر و کمیاب) دیده می‌شود (جدول ۳). کناره بعضی از رگه‌های دیوپسیدیت شامل آنورتیت به عنوان کانی اصلی است

جدول ۳ نتایج تجزیه LA-ICP-MS کلینوپیروکسن (Cpx) و پلازبیکلاز (Pl) در سنگ‌های مورد مطالعه. IHz: هارزبورزیت غنی‌شده، Di: دیوپسیدیت، Pg-vein: رگه گابرونوریت پگماتوئیدی، DHz: هاربوزریت تمی‌شده، Ol-Ga-Nr: الیون گابرونوریت.

| سنگ‌شناسی کانی | IHz Pl | IHz Cpx | Di Cpx | Di Cpx | Di Cpx | Pg-vein Cpx | DHz Cpx | Ol-Ga-Nr Cpx |
|----------------------|-----------|------------|-----------|-----------|-----------|----------------|------------|-----------------|
| شماره نمونه | P-7 | P-7 | P-7 | P-7 | P-7 | P6-1 | DU2-1 | g-75 |
| شماره نقطه | ۲ | ۵ | ۱ | ۳ | ۴ | ۱ | ۱ | ۲ |
| Li (ppm) | ۰,۲۲۰ | ۰,۷۰۰ | ۰,۲۲۱ | ۰,۳۳۶ | ۰,۳۱۵ | ۲,۵۳۰ | ۳,۵۸۰ | ۰,۶۸۷ |
| Sc | ۰,۷۹۰ | ۲۷,۹۰ | ۰,۸۴۰ | ۷,۳۰ | ۱,۴۰ | ۲۷,۴۸ | ۲۴,۱۲ | ۴۱,۸۰ |
| Cs | ۰,۰۲۷ | ۰,۰۳۲ | ۰,۰۱۷ | ۰,۰۴۹ | ۰,۰۲۳ | ۱,۴۰ | ۰,۰۱۹ | ۰,۰۰۲ |
| Rb | ۰,۱۱۸ | ۰,۰۵۹ | ۰,۱۰۸ | ۰,۰۸۰ | ۰,۰۲۸ | ۱,۴۰ | ۰,۰۳۸ | ۰,۰۱۷ |
| Ba | ۰,۰۶۵ | ۰,۰۲۳ | ۰,۰۴۴ | ۰,۰۱۵ | ۰,۰۲۸ | ۰,۱۸ | ۰,۰۳۹ | ۰,۰۶۸ |
| Th | ۰,۰۰۰۴ | ۰,۰۲۵۷ | ۰,۰۰۳۱ | ۰,۰۰۶۵ | ۰,۰۰۳ | ۰,۰۰۳۴ | ۰,۰۰۴۴ | ۰,۰۰۱۷ |
| U | ۰,۰۰۱ | ۰,۰۰۹۸ | ۰,۰۰۱۰ | ۰,۰۰۳۰ | ۰,۰۰۷ | ۰,۰۰۸ | ۰,۰۰۰۲ | ۰,۰۰۰۳ |
| Nb | ۰,۰۰۴۱ | ۰,۰۲۳ | ۰,۰۰۳۷ | ۰,۰۰۲۶ | ۰,۰۰۲۵ | ۰,۰۰۱۵ | ۰,۰۰۳۶ | ۰,۰۰۴۴ |
| Ta | ۰,۰۰۰۶ | ۰,۰۰۲۳ | ۰,۰۰۰۷ | ۰,۰۰۱۳ | ۰,۰۰۰۵ | ۰,۰۰۰۵ | ۰,۰۰۰۵ | ۰,۰۰۰۷ |
| La | ۰,۲۶۰ | ۰,۱۷۷ | ۰,۱۱۵۲ | ۰,۲۲۹ | ۰,۱۵۸۱ | ۰,۰۲۰ | ۰,۰۰۵ | ۰,۰۶۰ |
| Ce | ۰,۶۵۰ | ۰,۷۰۰ | ۰,۶۱۰ | ۱,۴۵۰ | ۰,۸۲۵ | ۰,۱۰۰ | ۰,۰۰۳۰ | ۰,۲۸۸ |
| Pb | ۰,۰۰۳ | ۰,۰۱۹ | ۰,۰۰۳۵ | ۰,۰۰۰۵ | ۰,۰۰۷ | ۰,۰۲۳ | ۰,۰۲۷ | ۰,۰۱۶۲ |
| Pr | ۰,۰۹۳ | ۰,۱۲۷ | ۰,۱۳۳ | ۰,۳۶۸ | ۰,۱۷۴ | ۰,۰۳۰ | ۰,۰۰۷ | ۰,۰۷۰۴ |
| Sr | ۳,۱۰۰ | ۱,۷۴۱ | ۵,۸۶۰ | ۵,۳۰۰ | ۳,۲۹۱ | ۲,۰۳۰ | ۰,۱۲۷ | ۴,۳۵۰ |
| Nd | ۰,۴۶۰ | ۰,۷۳۰ | ۰,۷۲۰ | ۲,۲۱۰ | ۰,۹۶۴ | ۰,۱۷۶ | ۰,۰۰۲۶ | ۰,۴۵۴ |
| Zr | ۱,۹۶۰ | ۲,۸۰۰ | ۹,۶۰۰ | ۱۷,۱۰۰ | ۳,۲۶۰ | ۰,۵۶۷ | ۰,۰۱۲ | ۱,۶۸۰ |
| Hf | ۰,۰۸۴ | ۰,۱۲۷ | ۰,۲۶۰ | ۰,۷۸۳ | ۰,۰۹۰ | ۰,۰۳۶ | ۰,۰۰۸ | ۰,۰۷۹ |
| Sm | ۰,۱۳۷ | ۰,۳۷۶ | ۰,۲۵۸ | ۱,۱۹۴ | ۰,۳۵۴ | ۰,۱۳۵ | ۰,۰۰۷۶ | ۰,۳۲۷۲ |
| Eu | ۰,۱۰۳ | ۰,۱۷۲۵ | ۰,۰۸۲ | ۰,۲۹۱ | ۰,۱۵۴۲ | ۰,۰۵۷ | ۰,۰۰۹ | ۰,۱۲۵ |
| Gd | ۰,۱۶۳ | ۰,۷۱۹ | ۰,۳۱۴ | ۱,۶۰۰ | ۰,۴۵۰ | ۰,۲۸۳ | ۰,۰۳۸ | ۰,۵۱۲ |
| Tb | ۰,۰۲۶ | ۰,۱۴۶۱ | ۰,۰۵۷۴ | ۰,۳۰۹ | ۰,۰۸۵۱ | ۰,۰۵۶ | ۰,۰۱۳۶ | ۰,۰۹۸ |
| Dy | ۰,۱۹۰ | ۱,۰۵۹ | ۰,۳۸۹ | ۲,۱۹۰ | ۰,۵۵۱ | ۰,۴۲۴ | ۰,۱۵۵ | ۰,۶۹۰ |
| Y | ۱,۱۲۰ | ۵,۷۰۲ | ۲,۳۸۰ | ۱۱,۹۷ | ۳,۲۱۰ | ۲,۱۵۰ | ۱,۰۴۶ | ۳,۶۹۰ |
| Ho | ۰,۰۳۸ | ۰,۲۲۶۴ | ۰,۰۹۰ | ۰,۴۸۳ | ۰,۱۲۳ | ۰,۰۹۸ | ۰,۰۴۱ | ۰,۱۴۶ |
| Er | ۰,۱۰۹ | ۰,۶۶۲ | ۰,۲۵۷ | ۱,۴۱۰ | ۰,۳۵۲ | ۰,۲۷۷ | ۰,۱۵۵ | ۰,۴۲۰ |
| Tm | ۰,۰۱۶ | ۰,۰۹۳۱ | ۰,۰۳۸ | ۰,۱۹۶ | ۰,۰۵۲۸ | ۰,۰۴۱ | ۰,۰۲۸۲ | ۰,۰۵۸۴ |
| Yb | ۰,۰۹۷ | ۰,۵۸۳ | ۰,۲۹۰ | ۱,۳۷۰ | ۰,۳۸۳ | ۰,۲۹۰ | ۰,۲۱۱ | ۰,۳۷۴ |
| Lu | ۰,۰۱۳۵ | ۰,۰۸۴ | ۰,۰۴۹ | ۰,۱۸۴ | ۰,۰۶۸۳ | ۰,۰۳۶ | ۰,۰۲۷ | ۰,۰۵۶۴ |
| Eu/Eu* | ۲,۰۹۰ | ۱,۰۱۰ | ۰,۸۷۰ | ۰,۶۴۰ | ۱,۱۷۰ | ۰,۸۸۰ | ۱,۰۶۰ | ۰,۹۳۰ |
| (La/Sm) _N | ۰,۲۷۹۹ | ۰,۲۹۵ | ۰,۲۷۹۸ | ۰,۱۲۰۲ | ۰,۲۷۹۹ | ۰,۰۹۱۹ | ۰,۰۴۱۲ | ۰,۱۱۴۹ |
| (La/Yb) _N | ۰,۲۸۵۸ | ۰,۲۱۰۲ | ۰,۲۷۵ | ۰,۱۱۵۷ | ۰,۲۸۵۸ | ۰,۰۴۷۳ | ۰,۰۰۱۶ | ۰,۱۱۱۰ |
| (Gd/Yb) _N | ۰,۹۷۱۱ | ۱,۰۱۹۳ | ۰,۸۹۴۹ | ۰,۹۶۵۳ | ۰,۹۷۱۱ | ۰,۸۰۶۶ | ۰,۱۴۸۴ | ۱,۱۳۱۵ |

و همچنین فراوانی مودال آنورتیت به عنوان یک کانی غنی از کلسیم در بعضی از رگه‌های دیوپسیدیت و پریدوتیت میزان پیشنهاد می‌کند که این سیال‌ها غنی از کربنات، کلرید و سولفات بوده‌اند و پیش از رسیدن به گوشه با سنگ‌های غنی از پلازیوکلاز (گابروهای پوسته پایینی) واکنش داده‌اند. بالا بودن عدد منیزیوم دیوپسیدها نشان دهنده واکنش سیال‌ها با پریدوتیتها و سهم پریدوتیتها در تشکیل دیوپسیدیت‌هاست. در منطقه مورد بررسی، هارزبورژیت میزان نیز تا حدی دستخوش فرایند دیوپسیدی شدن شده است. وجود لکه‌های کلینوپیروکسن با میانبارهای سرپانتین در هارزبورژیت میزان پیشنهاد می‌کند که دیوپسید به طور جزئی جایگزین سرپانتین برآمده از دگرسانی الیوین شده است. این دیوپسید غنی از عناصر خاکی نادر است و در نمودار عناصر کمیاب بهنجار شده نسبت به گوشه اولیه الگوی مشابه کلینوپیروکسن دیوپسیدیت‌ها دارد (شکل ۶ ب).

خاستگاه سیال‌های گرمابی شرکت کننده در تشکیل دیوپسیدیت‌ها و هورنبلنیدیت‌های گوشه و وابسته بودن آن‌ها به خاستگاه ماقمایی یا آب دریا مورد بحث قرار گرفته است [۶، ۸، ۱۰]. بررسی‌های اخیر بر ترکیب کانی‌های هورنبلنیدیت‌های گوشه در افیولیت نائین و حضور ۹۴ درصد حجمی کانی‌های آبدار اولیه، مشارکت سیالی با طبیعت آبدار را در تشکیل این سنگ‌ها پیشنهاد می‌کند [۱۰]. افزون بر این، بررسی ترکیب میانبارهای سیال در کانی‌های سازنده دیوپسیدیت‌های گوشه و پوسته در افیولیت عمان [۳۵] نشان می‌دهد که سیال حبس شده در این کانی‌ها طبیعت آبدار دارد و دارای مقدار قابل توجهی سدیم و ریزبلورهایی از کلسیت و آنهیدریت است. بر اساس این بررسی‌ها یک خاستگاه وابسته به آب دریا برای این سیال‌های گرمابی محتمل‌تر به نظر می‌رسد. در اثر نفوذ آب دریا به سمت پایین گرم شده و در دمای حدود ۴۰۰ درجه سانتیگراد (کمتر از دمای بحرانی آب) شناور شده و به طرف بالا بر می‌گردد [۳۶]. این بدین معنی است که آب دریا فقط می‌تواند تا عمق کمتر از منطقه عدسی‌های مذاب در محور پشت‌های میان اقیانوسی نفوذ کند. اما ورود سیال‌های گرمابی ناشی از آب دریا به منطقه حضور عدسی‌های مذاب در محل محور پشت‌های میان اقیانوسی باعث بالا رفتن دمای آن‌ها در گستره بالاتر از نقطه بحرانی آب می‌شود [۳۵]. این سیال ابر بحرانی دما بالا (دمای حدود ۸۰۰ درجه سانتیگراد) قابلیت

بر اساس یافته‌های پیتون و همکاران [۵] دیوپسیدیت‌های گوشه نشان دهنده ردپای گردش سیال‌های گرمابی دما بالا و غنی از کلسیم، کربنات و احتمالاً سیلیس در گوشه بالایی هستند که پیش از نفوذ به گوشه، واحدهای سنگی غنی از پلازیوکلاز را شسته‌اند (بوسیله بیهنجاری مثبت Eu تأیید می‌شود). کلینوپیروکسن هارزبورژیت معمول گوشه در منطقه مورد بررسی از عناصر خاکی نادر بسیار تهی شده است، در حالی که کلینوپیروکسن‌های رگه‌های دیوپسیدیت و هارزبورژیت غنی‌شده نسبتاً غنی از عناصر خاکی نادر هستند. آن‌ها همچنین نسبت به کلینوپیروکسن رگه‌های گابرونوریت پگماتوئیدی در هارزبورژیت گوشه و الیوین گابرونوریت پوسته پایینی از عناصر خاکی نادر غنی‌تر هستند (شکل ۶ پ)؛ بهویژه یکی از نمونه‌ها (P-7-3) نسبت به سایرین از عناصر خاکی نادر غنی‌تر است (جدول ۳). این نشان دهنده جایجایی عناصر خاکی نادر بوسیله سیال‌های گرمابی دما بالاست، که این توسط دیگران نیز تأیید شده است [۳۳]. سیال‌های گرمابی دما بالا و غنی از بون‌های کلرید (Cl^-)، کربنات (CO_3^{2-}) و سولفات (SO_4^{2-}) می‌توانند عناصر خاکی نادر (بویژه عناصر خاکی نادر سنگین) را با تشکیل همبافت انتقال دهند [۸].

معمولًا می‌توان بر پایه مجموعه کانی‌ها در سنگ‌های دگرگونی دمای دگرگونی را تعیین کرد. تغییر مجموعه کانی‌ها در مرکز و کناره رگه‌های دیوپسیدیت نشان دهنده تغییر گسترده شرایط است. مجموعه ترمولیت-دیوپسید-سرپانتین در کناره بعضی از رگه‌ها نشان می‌دهد که دما ۶۰۰-۵۵۰ درجه سانتیگراد بوده است [۳۴]، در حالی که رگه‌هایی که بیشتر در مرکز از دیوپسید و در کناره از دیوپسید و آنورتیت تشکیل شده‌اند به ترتیب دماهای بالاتر از ۸۰۰ و ۹۰۰ درجه سانتیگراد را مشخص می‌کنند [۵]. مجموعه کانی‌ها دیوپسیدیت‌های مورد بررسی تأیید می‌کند که آن‌ها در اثر واکنش سیال‌های گرمابی با پریدوتیت‌های میزان (هارزبورژیت) در دمای ۵۵۰-۶۰۰ درجه سانتیگراد تشکیل شده‌اند. مجموعه کانی‌های دیوپسیدیت‌های صحرایی و ترکیب عناصر اصلی کانی‌های دیوپسیدیت‌های گوشه در بخش شرقی افیولیت سیزوار نشان می‌دهد که آن‌ها از رسوب سیال‌های گرمابی دما بالای غنی از سیلیس، منیزیوم و کلسیم تشکیل شده‌اند. غنی‌شدگی عناصر خاکی نادر در کلینوپیروکسن‌های دیوپسیدیت و هارزبورژیت غنی شده، بیهنجاری مثبت Eu در بعضی از آن‌ها، وجود رگه‌های کربنات

گوشه بالایی هستند. بی‌هنجاری مثبت Eu در بعضی از دیوپسیدها و همچنین فراوانی مodal آنوریت به عنوان یک کانی غنی از کلسیم در بعضی از رگه‌های دیوپسیدیت و پریدوتیت میزان پیشنهاد می‌کند که این سیال‌ها پیش از رسیدن به گوشه با سنگ‌های غنی از پلازیوکلаз (گابروهای پوسته پایینی) واکنش داده‌اند. عدد منیزیوم بالا در دیوپسیدها نشان دهنده واکنش سیال‌ها با پریدوتیت‌ها و سهم پریدوتیت‌ها در تشکیل دیوپسیدیت‌هاست. وجود لکه‌های کلینوپیروکسن با میانبارهای سرپانتین در هارزبورزیت میزان پیشنهاد می‌کند که دیوپسید به‌طور جزئی جایگزین سرپانتین برآمده از دگرسانی الیوین شده است.

قدردانی

نویسندهان مقاوله، از حمایت‌های دانشگاه اصفهان در انجام این پژوهش تشکر و قدردانی می‌کنند. همچنین از همکاری ارزنده پروفسور کارلوس گریدو از انجمن علوم زمین آندازویا (دانشگاه گرانادا، اسپانیا) در زمینه انجام بخشی از تجزیه‌های این پژوهش سپاسگزاری می‌شود.

مراجع

- [1] Crane K., Aikman F., Foucher J.P., "The distribution of geothermal fields along the East Pacific Rise from 13°10' N to 8°20' N: implications for deep seated origins", *Marine Geophysical Research* 9 (1988) 211–236.
- [2] Fouquet Y., Auclair G., Cambon P., Etoubleau J., "Geological setting and mineralogical and geochemical investigations on sulfide deposits near 13° N on the East Pacific Rise", *Marine Geology* 84 (1988) 145–178.
- [3] Nehlig P., Juteau T., "Deep crustal seawater penetration and circulation at ocean ridges: evidence from the Oman Ophiolite", *Marine Geology* 84 (1988) 209–228.
- [4] Vanko D.A., Laverne C., "Hydrothermal anorthitization of plagioclase within the magmatic/hydrothermal transition at mid-ocean ridges: examples from deep sheeted dikes (Hole 504B, Costa Rica Rift) and a sheeted dike root zone (Oman ophiolite)", *Earth and Planetary Science Letters* 162 (1998) 27–43.
- [5] Python M., Ceuleneer G., Ishida Y., Barrat J.A., Arai S., "Oman diopsidites: A new lithology diagnostic of very high temperature hydrothermal circulation in mantle peridotite below oceanic

نفوذ به بخش پایینی پوسته و گوشه بالایی را دارد [۱۰]. این نشان دهنده تشکیل دیوپسیدیت‌های گوشه در نزدیکی محور پشتهدان میان اقیانوسی و همزمان با فعالیت ماقمایی است [۳۵]. واکنش این سیال‌های گرمایی دما بالا با سنگ‌های مسیر باعث انحلال مقادیر قابل توجهی از ترکیبات سیلیکاتی و انتقال عناصر لازم برای تشکیل دیوپسیدیت‌ها به گوشه بالایی می‌شود. گردش سیال‌های گرمایی دما بالا در شکستگی‌ها و درزهای پیشین موجود در پریدوتیت‌های گوشه باعث تشکیل دیوپسیدیت‌ها در این شکستگی‌ها شده است. این درزها احتمالاً توسط فرایندهای زمین‌ساختی یا افزایش حجم ۱۵ درصدی ناشی از واکنش‌های سرپانتینی شدن در پریدوتیت‌های گوشه ایجاد شده‌اند [۱۰]. البته این افزایش حجم همچنین باعث محدود شدن سیال‌ها و جلوگیری از پخش شدن آن‌ها در فواصل دورتر می‌شود. احتمالاً این دلیل اندک بودن دیوپسیدیت‌ها در مجموعه‌های افیولیتی و منحصر بودن آن‌ها تنها به بالاترین بخش گوشه بالایی است [۵].

برداشت

در بخش شرقی افیولیت سبزوار رگه‌هایی از دیوپسیدیت در هارزبورزیت‌های سرپانتینی شده گوشه وجود دارد. ترکیب کلینوپیروکسن و پلازیوکلاز موجود در رگه‌های دیوپسیدیت و هارزبورزیت میزان در منطقه مورد بررسی خارج از گستره سنگ‌های مافیک و فرامافیک آذرین قرار می‌گیرند. این کلینوپیروکسن‌ها همچنین نسبت به کلینوپیروکسن هارزبورزیت معمول گوشه و سنگ‌های مافیک گوشه و پوسته پایینی از عناصر خاکی نادر غنی تر هستند و در نمودار عناصر خاکی نادر بهنگارشده نسبت به کندریت در گستره دیوپسیدیت‌های گوشه قرار می‌گیرند که ناشی از گردش سیالات گرمایی دما بالا در گوشه بالایی در نظر گرفته شده‌اند. سیال‌های گرمایی دما بالا و غنی از یون کلرید، کربنات و سولفات می‌توانند عناصر خاکی نادر (بهویژه عناصر خاکی نادر سنگین) را با تشکیل همبافت انتقال دهند. مجموعه کانی‌ها، روابط صحرایی، ترکیب عناصر اصلی کانی‌های دیوپسیدیت‌های گوشه، وجود رگه‌های کربنات و غنی شدگی عناصر خاکی نادر در دیوپسیدهای دیوپسیدیت و هارزبورزیت غنی شده در بخش شرقی افیولیت سبزوار نشان می‌دهد که آن‌ها نتیجه گردش سیال‌های گرمایی دما بالای (۹۰۰–۵۵۰ درجه سانتیگراد) غنی از سیلیس، منیزیوم، کلسیم، کربنات، سولفات و کلرید در

- [16] Förster H., "Mesozoic–Cenozoic metallogenesis in Iran", Journal of Geological Society London 135 (1984) 443–455.
- [17] Sengor A.M.C., "A new model for the late Paleozoic–Mesozoic tectonic evolution of Iran and implications for Oman", In: Robertson A.H.F., Searle M.P., Ries A.C., (Eds.), The Geology and Tectonics of the Oman Region, Geological Society of London, Special Publication 49 (1990) 797–831.
- [18] Soffel H.C., Förster H.G., "Polar wander path of the Central-East- Iran Microplate including new results", Neues Jahrbuch Fur Mineralogie Montshefte 168 (1984) 165–172.
- [19] Shirdashtzadeh N., "Petrology of pillow lavas and amphibolites; and metamorphism in mantle peridotites of Nain and Ashin ophiolites", PhD Thesis, University of Isfahan (2014) 378p (In Persian).
- [20] Nasrabady M., "Petrology of metamorphic rocks of ophiolitic belt from northern Sabzevar", PhD Thesis, Tarbiat Moallem University (2009) 244p (In Persian).
- [21] Bagheri S., Stampfli G.M., "The Anarak, Jandaq and Posht-e-Badam metamorphic complex in Central Iran: New geological data, relationships and tectonic implications", Tectonophysics 451 (2008) 123–155.
- [22] Fotoohi Rad G.R., Droop G.T.R., Burges, R., "Early Cretaceous exhumation of high-pressure metamorphic rocks of the Sistan Suture Zone, Eastern Iran", Geological Journal 44 (2009) 104–116.
- [23] Shafaii Moghadam H., Whitechurch H., Rahgoshay M., Monsef I., "Significance of Nain-Baft ophiolitic belt (Iran): Short-lived, transtensional Cretaceous back-arc oceanic basins over the Tethyan subduction zone", Comptes Rendus Geoscience 49 (2009) 261–270.
- [24] Shojaat B., Hassanipak A.A., Mobasher K., Ghazi A.M., "Petrology, geochemistry and tectonics of the Sabzevar ophiolite, North Central Iran", Journal of Asian Earth Sciences 21 (2003) 1053–1067.
- [25] Stampfli G.M. Borel G.D., "A plate tectonic model for the Paleozoic and Mesozoic constrained by dynamic plate boundaries and restored synthetic oceanic isochrones", Earth and Planetary Science Letters 196 (2002) 17–33.
- [26] Shafaii Moghadam H., Corfu F., Chiaradia M., Stern R.J., Ghorbani G., "Sabzevar Ophiolite, NE Iran: Progress from embryonic oceanic lithosphere into magmatic arc constrained by new spreading centres", Earth and Planetary Science Letters 255 (2007) 289–305.
- [6] Python M., Yoshikawa M., Shibata T., Arai S., "Diopsidites and rodingites: Serpentinitisation and Ca-Metasomatism in the Oman ophiolite mantle", In Srivastava, R. K., (Ed.), Dyke Swarms: Keys for Geodynamic Interpretation, Springer, Berlin, Heidelberg (2011) 401–435.
- [7] Akizawa N., Arai S., Tamura A., Uesugi J., Python M., "Crustal diopsidites from the northern Oman ophiolite: Evidence for hydrothermal circulation through suboceanic Moho", Journal of Mineralogical and Petrological Sciences 106 (2011) 261–266.
- [8] Akizawa N., Arai S., "Petrology of mantle diopsidite from Wadi Fizh, northern Oman ophiolite: Cr and REE mobility by hydrothermal solution", Island Arc 23 (2014) 312–323.
- [9] Arai S., Akizawa N., "Precipitation and dissolution of chromite by hydrothermal solutions in the Oman ophiolite: new behavior of Cr and chromite", American Mineralogist 99 (2014) 28–34.
- [10] Torabi G., Arai S., Morishita T., Tamura A., "Mantle hornblendites of Naein ophiolite (Central Iran): Evidence of deep high temperature hydrothermal metasomatism in an upper mantle section", Petrology 25, 1 (2017) 114–137.
- [11] McCollom T.M., Shock E.L., "Fluid–rock interactions in the lower oceanic crust: thermodynamic models of hydrothermal alteration", Journal of Geophysical Research 103, B1 (1998) 547–575.
- [12] Droop G.T., "A general equation for estimating Fe^{3+} concentrations in ferromagnesian silicates and oxides from microprobe analyses, Using stoichiometric criteria", Mineralogical Magazine 51 (1987) 431–435.
- [13] Whitney D.L., Evans B.W., "Abbreviations for names of rock-forming minerals", American Mineralogist 95 (2010) 185–187.
- [14] Govindaraju K., "Compilation of working values and sample description for 383 geostandards", Geostandards Newsletter XVIII, Special Issue (1994) 1–158.
- [15] Lensch G., "Major element geochemistry of the ophiolites in northeastern Iran", In: Panayotou A., (Ed.), Ophiolites: Proceedings of the International ophiolite Symposium Cyprus, Nicosia, Cyprus, Geological Survey Department (1980) 398–401.

- Magmatism in the Ocean Basins, Geological Society of London, Special Publications 42 (1989) 313-345.
- [33] Liefink D. J., Nijland T. G., Maijer, C., "The behavior of rare-earth elements in high-temperature Cl-bearing aqueous fluids: Results from the Ødegårdens verk natural laboratory", Canadian Mineralogist 32 (1994) 149–58.
- [34] Trommsdorff V., Connolly J.A.D., "Constraints on phase diagram topology for the system CaO-MgO-SiO-CO-HO", Contributions to Mineralogy and Petrology 104 (1990) 1–7.
- [35] Akizawa N., Tamura A., Fukushi K., Yamamoto J., Mizukami T., Python M., Arai S., "High-temperature hydrothermal activities around suboceanic Moho: An example from diopsidite and anorthosite in Wadi Fizh, Oman ophiolite", Lithos (2016).
<http://dx.doi.org/10.1016/j.lithos.2016.07.012>
- [36] German C.R., Lin J., "The thermal structure of the oceanic crust, ridge-spreading and hydrothermal circulation: How well do we understand their inter-connections", In: German C.R., Lin J., Parson L.M. (Eds.), Mid-ocean ridge: Hydrothermal interactions between the lithosphere and oceans, Geophysical Monograph Series 148, American Geophysical Union, Washington DC, USA (2004) 1–18.
- isotopic and geochemical data", Lithos* 210–211 (2014) 224–241.
- [27] Shafaii Moghadam H., Corfu F., Stern R.J., "U-Pb zircon ages of Late Cretaceous Nain-Dehshir ophiolites, central Iran", Journal of the Geological Society 170 (2013) 175-184.
- [28] Shafaii Moghadam H., Zaki Khedr M., Arai S., Stern R.J., Ghorbani G., Tamura A., Ottley C.J., "Arc-related harzburgite-dunite-chromitite complexes in the mantle section of the Sabzevar ophiolite, Iran: A model for formation of podiform chromitites", Gondwana Research 27 (2015) 575-593.
- [29] Majidi J., "Sabzevar 1:100,000 Geological Map and Report", Geological Survey and Mining Exploration of Iran (1999).
- [30] Behroodi A., Omrauni G., "Forumad 1:100,000 Geological Map", Geological Survey and Mining Exploration of Iran (1999).
- [31] Python M., Ceuleneer G., "Nature and distribution of dykes and related melt migration structures in the mantle section of the Oman ophiolite", Geochemistry Geophysics Geosystem 4, 7 (2003) 8612.
- [32] Sun S.S., McDonough W.F., "Chemical and isotopic systematics of oceanic basalts: implications for mantle composition and processes", In: Saunders A.D., Norry M.J. (Eds.),